

ارزیابی عوامل موثر بر کیفیت آب زیرزمینی جوین با استفاده از روش تحلیل مولفه‌های اصلی

راحله هاتنی^(۱)، علی اکبر شهسواری^(۱)، فرهاد اسدیان^(۱) و کمال خدایی^(۲)

۱. مرتبی پژوهشی، گروه زمین‌شناسی محیطی، پژوهشکده علوم پایه کاربردی جهاد دانشگاهی

۲. استادیار پژوهشی، گروه زمین‌شناسی محیطی، پژوهشکده علوم پایه کاربردی جهاد دانشگاهی

تاریخ دریافت: ۹۲/۰۲/۹

تاریخ پذیرش: ۹۲/۱۱/۲۰

چکیده

آبخوان جوین در شمال شرق ایران واقع شده است. این آبخوان توسط رشته ارتفاعات متشكل از سنگ‌های اولترامافیک با پتانسیل اقتصادی بهره‌برداری از کرومیت تغذیه می‌گردد. هدف از این مطالعه، شناسایی عوامل موثر بر کیفیت آب زیرزمینی آبخوان جوین با استفاده از روش آماری چند متغیره تحلیل مولفه‌های اصلی است. برای دستیابی به این هدف، از ۲۲ چاه در محدوده مطالعاتی در خرداد ماه ۱۳۸۸ انمونیوم‌برداری شده است. پارامترهای فیزیکی دما، pH و EC در محل نمونه‌برداری اندازه‌گیری شده‌اند. یون‌های اصلی، فرعی و فلزات سنگین با روش‌های استاندارد اندازه‌گیری شد. سپس تکنیک‌های آماری چند متغیره مانند تحلیل خوشه‌ای و تحلیل مولفه اصلی/تحلیل عاملی برای بررسی ترکیبات شیمیایی آب زیرزمینی و مشخص کردن فاکتور و میزان تاثیر هر کدام استفاده شد که چهار عامل اصلی تکامل هیدروشیمیایی، توده‌های کرومیتی و معدن‌کاری، فرسایش و شرایط اکسیدی آب شناسایی گردید.

واژه‌های کلیدی: کیفیت آب زیرزمینی - تحلیل عاملی - آبخوان جوین.

این روش برای تعیین تأثیرگذارترین متغیرها در زمانی که تعداد متغیرهای مورد بررسی زیاد و روابط بین آن‌ها ناشناخته باشد، استفاده می‌شود. روش تحلیل خوشه‌ای شامل چندین الگوریتم طبقه‌بندی شده متفاوت می‌باشد که هدف این الگوریتم‌ها اتصال متغیرها در داخل خوشه‌های بزرگتر می‌باشد.

تحلیل عاملی یک روش آماری چند متغیره است که عمده‌ترین هدف استفاده از آن، کاهش حجم داده‌ها و تعیین مهم‌ترین متغیرهای مؤثر در شکل‌گیری پدیده‌ها و همبستگی بین آن‌ها در ارتباط با تعداد کوچکی فاکتور اساسی است بدون این‌که اطلاعات زیادی از دست برود (Jackson, 1991; Melgen, 1992). از آنجاکه در پژوهش‌های آب زیرزمینی، شرایط محیط تحت کنترل پژوهشگر نیست، غالباً تعداد متغیرها زیاد است. در نتیجه برای کاهش حجم متغیرها می‌توان از تحلیل عاملی به عنوان یک روش مناسب استفاده کرد. این روش در دهه‌های اخیر به ویژه با پیشرفت استفاده از برنامه‌های آماری در رایانه در سطح

مقدمه فرآیندهای مختلفی توزیع عناصر کیاپ و ترکیب شیمیایی آن‌ها را در آب زیرزمینی کنترل می‌کنند (Hem, 1970; Drever, 1982; Appelo and Pastma, 1993) این عوامل می‌توانند شامل عوامل طبیعی مانند لیتیولوژی در برگیرنده سفره آب زیرزمینی، کیفیت آب تغذیه کننده، سرعت و جهت جریان آب زیرزمینی و بر هم کنش آب و سفره آبدار و عوامل انسانی باشند (Helena et al., 2000) که احتمال دارد به آلدگی آب زیرزمینی توسط مواد مختلف و مشکلات زیست محیطی و اجتماعی - اقتصادی جدی منجر شود (Kumar and Riazuddin, 2008). بنابراین توصیف هیدروشیمی سیستم‌ها نیاز به آگاهی و علم به ترکیبات یون‌های اصلی، فرعی و محتوای فلزات سنگین در آب زیرزمینی دارد. محققین از روش‌های متعددی برای این منظور استفاده کرده‌اند که از جمله آن‌ها می‌توان به روش‌های گرافیکی نظری پایپر، استیف و ویلکوکس، تحلیل خوشه‌ای و تحلیل عاملی اشاره کرد. از

* نویسنده مرتبط: rahele.hatefi@gmail.com

مواد و روش‌ها

منطقه مورد مطالعه

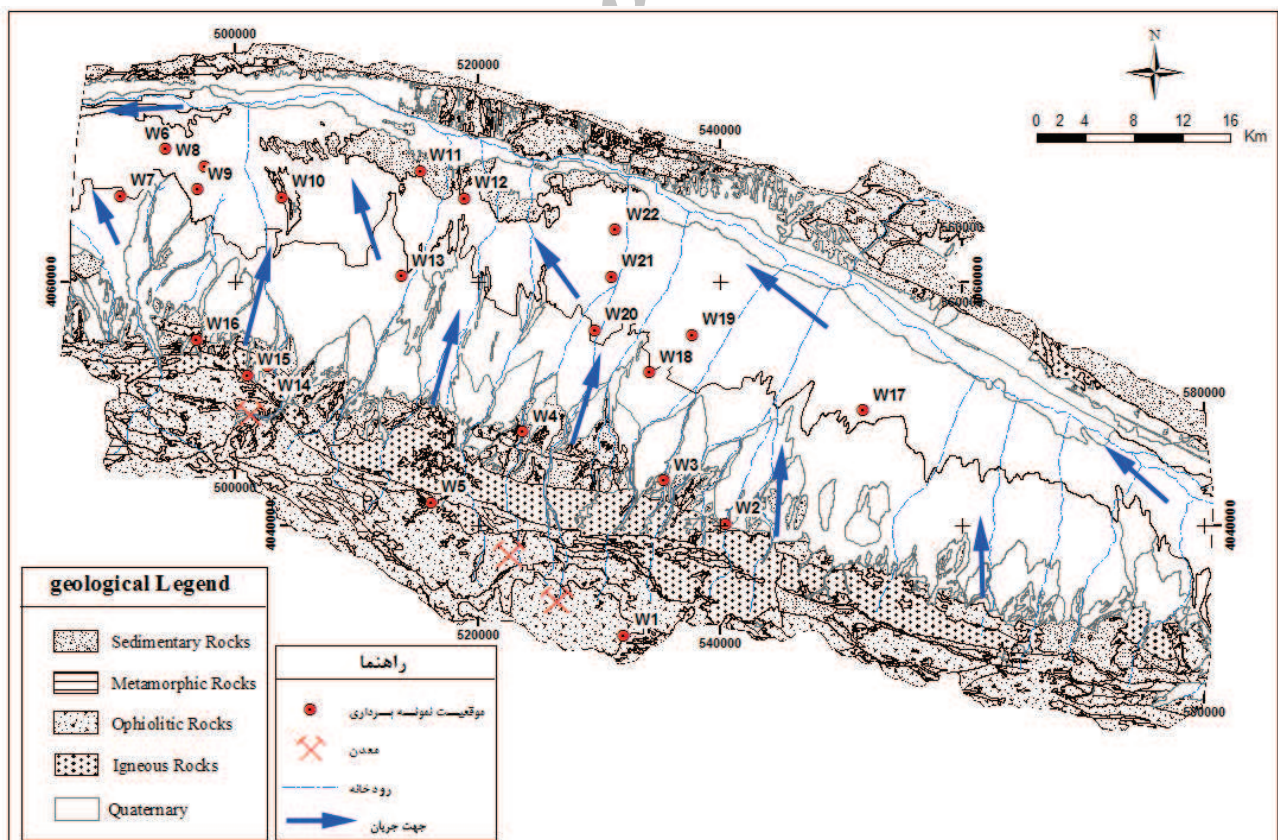
محدوده مطالعاتی با موقعیت تقریبی $50^{\circ} 55'$ تا $57^{\circ} 0'$ طول شرقی و $36^{\circ} 15'$ تا $45^{\circ} 36'$ عرض شمالی در شمال شرق ایران، در شمال شهرستان سبزوار، جنوب شهرستان اسفراین و غرب شهرستان نیشابور واقع شده است و بخشی از استان‌های خراسان رضوی و شمالی می‌باشد. با توجه به آمار ۲۵ ساله بارندگی، متوسط بارندگی سالانه محدوده مطالعاتی میلی‌متر می‌باشد که به دلیل پتانسیل خوب آبی، تراکم مناطق مسکونی در منطقه زیاد است و جمعیتی بالغ بر ۱۲۰۰۰۰ نفر در آن ساکن هستند. شکل ۱ محدوده مورد مطالعه و موقعیت نقاط نمونه‌برداری را نشان می‌دهد.

زمین‌شناسی و هیدرولوژی

محدوده مطالعاتی بخش مرکزی دشت جوین است که توسط دو رشته ارتفاعات شمالی و جنوبی محصور شده است و در آن تشکیلات زمین‌شناسی از پرکامبرین تا عهد حاضر رخنمون دارند: ۱) ارتفاعات شمالی که غالباً منشأ رسوی دارند و از مارن‌های نژوژن تشکیل شده‌اند. ۲) ارتفاعات جنوبی شامل سنگ‌های افیولیتی کرتاسه فوکانی همراه با رخنمون‌هایی از سنگ‌های دگرگونی قدیمی است که توسط سنگ‌های رسوی، رسوی-

وسعی مورد استفاده پژوهشگران قرار گرفته است. در مطالعات آب زیرزمینی متغیرهای مشاهده‌ای در واقع آئیون‌ها، کاتیون‌ها و سایر عناصر موجود در ترکیب آب زیرزمینی را شامل می‌شوند که معرف کیفیت آب هستند. محققین مختلفی از روش تحلیل عاملی جهت تشخیص تغییرات زمانی- مکانی و منشأهای آلودگی در آب رودخانه (Kowalkowski et al., 2006; Zhou et al., 2007b) و آب‌های ساحلی (Her- Singh et al., 2005) و آب زیرزمینی (nandez- Romero et al., 2004; Zhou et al., 2007a) استفاده کرده‌اند.

هدف از این پژوهش، به کارگیری روش تحلیل مولفه‌های اصلی برای تعیین عوامل موثر بر کیفیت و آلودگی آب زیرزمینی با تمرکز بر حضور فلزات سنگین در آبخوان جوین می‌باشد. عموماً فعالیت‌های معدنی به کیفیت محیط زیست صدمه می‌زنند (Marszalek and Wasik, 2000; Karbassi et al., 2007). وجود چندین معدن فعال کرومیت در منطقه می‌تواند بر تغییرات شیمیایی منابع آب تاثیرگذار باشد. تعیین عوامل موثر بر کیفیت و آلودگی آب زیرزمینی با توجه به گسترش فعالیت‌های معدنی، کشاورزی و صنعتی در این دشت و واقع شدن آن در منطقه اخشک و کم بارش در مدیریت کیفیت آب زیرزمینی آن منطقه از اهمیت زیادی برخوردار است.



شکل ۱. موقعیت محدوده مورد مطالعه، نقشه زمین‌شناسی منطقه و محل نمونه‌برداری.

همچنین عمق آب از ۱۹۹ متر در شرق که ورودی داشت است تا حدود ۷ متر در محل خروجی داشت (غرب) در تغییر است. سطح تراز آب زیرزمینی بین ۱۲۵۱ در محل ورودی محدوده تا ۹۸۵ متر در محل خروجی در نوسان است. جهت جريان در بخش جنوبی داشت جنوبی - شمالی است ولی در مرکز جهت جريان از شرق به غرب می باشد و هم روند با رودخانه کال شور جوین می گردد (شکل ۱).

نمونه برداری و آنالیز شیمیایی

نمونه برداری در خرداد ماه ۱۳۸۸ انجام شده است. موقعیت نقاط نمونه برداری براساس قضاوت کارشناسی طوری انتخاب شده است که محدوده را به طور کامل پوشش دهد. در جهت انجام این پژوهش، بازدیدهای میدانی از مناطق انجام شده است و تعداد ۲۲ نمونه از چاه، قنات و چشممه از منطقه جوین برداشت شده است. موقعیت نقاط نمونه برداری در شکل ۱ نشان داده شده است. پارامترهای EC, pH, DO, T و TDS در استگاه مولتی پارامتر قابل حمل در محل اندازه گیری شده اند. آنیون ها شامل کلراید، بیکربنات، کربنات و سولفات و TDS در آزمایشگاه شرکت آب منطقه ای خراسان رضوی به روش اسپکترومتری و کاتیون های اصلی شامل Na^+ , Ca^{2+} , Mg^{2+} , K^+ و عناصر جزئی در آزمایشگاه ACME کانادا و به روش ICP-MS آنالیز شده اند. این نمونه ها در ابتدا با استفاده از فیلتر های با منافذ ۰/۴۵ میکرون فیلتر شده و سپس توسط اسید نیتریک مرک (H^{=p} ۲) اسیدی شده اند. برای جمع آوری نمونه ها، از بطری های پلی اتیلن ۲۵۰CC استفاده شده است. بطری ها دو تا سه بار توسط آب چشمه، چاه یا قنات آبکشی (شسته) شده و سپس نمونه برداری انجام شده است. در هر محل دو بطری نمونه برداشت شده که یک نمونه جهت آنالیز کاتیون ها اسیدی شده است و نمونه دوم برای آنالیز آنیون ها برداشت شده که اسیدی نشده است.

نتایج حاصل از آنالیز داده ها با استفاده از روش های استاتیکی مانند تعیین فاکتورهای تطبیق، آنالیز خوشای و عامل های اصلی مورد بررسی و مقایسه قرار گرفته اند. برای انجام عملیات تحلیل عاملی متغیرها نرم افزار Varimax استخراج و با استفاده از Con-troid اسیدی شده است. هر کدام از عوامل فرآیند شیمیایی مستقل هستند که براساس میزان بارگذاری و مقدار ویژه آن ها به یک فرآیند شیمیایی نسبت داده می شود. عدد حاصل برای هر نمونه میان اهمیت آن عامل است (Klovan, 1975). برای تعیین اهمیت منطقه ای فرآیندهای مختلف که توسط عامل ها نمایش داده می شود، نقشه کنتوری ترسیم شده است.

نتایج و بحث

پارامترهای هیدروشیمیایی اندازه گیری شده در ۲۲ نمونه آب زیرزمینی برداشت شده از محدوده مطالعاتی در جدول ۱ نشان

آتشفشاری و آتشفشاری ائوسن به طور دگر شیب پوشیده شده اند. بخش شمالی از شیست، فیلیت، سنگ های ریولیتی دگرسان شده، سنگ آهک تبلور مجدد یافته و گاهاً چرتی، شیل و ماسه سنگ با تداخل هایی از سنگ آهک آلیتی و دولومیت خاکستری تیره، ماسه سنگ نازک لایه قهوه ای تا خاکستری با میان لایه هایی از میکرو کنگلومرا، ماسه سنگ و مارن، تناوبی از توف، ماسه سنگ و کنگلومرا در بخش هایی گدازه های آندزیتی، داسیت، آندزیت داسیتی تا کوارتز تراکی آندزیت، زیپس های مارن دار و لایه های کنگلومرا همراه با میان لایه های مارن تشکیل شده است.

بخش جنوبی غالباً از مجموعه افیولیتی تشکیل شده که یک سری سنگ های دگرگونی شامل آمفیبولیت و آمفیبولیت شیست گارننت دار با مرز گسله در داخل آنها هستند که احتمالاً از افیولیت ها قدیمی تر بوده و تحت تأثیر یک دگرگونی ناحیه ای قرار گرفته اند. مجموعه اصلی و مهم در بخش جنوبی افیولیت ها هستند که عمدتاً از سنگ های اولترا بازیک تشکیل شده و غالباً ترکیب هارزبورزیتی دارند ولی مقداری دونیت و لرزولیت نیز دیده می شود. گدازه های بازالتی زیردریایی که گاهی ساخت بالشی نشان می دهند، همراه با رادیولاریت و سنگ آهک پلاژیک بر روی اولترا بازیکها قرار می گیرند. دایک های دیابازی موجود در این بخش، سنگ های اولترا بازیک راقطع کرده و به روزگریت تبدیل شده و سبب سرپیتنی شدن هارزبورزیت ها نیز شده اند. توالی ضخیمی از سنگ های رسوی (کنگلومرا، شیل و سنگ آهک گلوبوترونکانادر) و آتشفشاری (توف، گدازه های آندزیت بازالتی، آندزیت و داسیت) مجموعه افیولیتی را می پوشاند که در بعضی قسمت ها به علت عملکرد گسل های رورانده، سنگ های اولترا بازیک بر روی رسوبات جوان تر (سنگ های آتشفشاری رسوی) رانده شده اند و مخلوط های رنگین را که شامل سنگ های اولترا بازیک، رادیولاریت و آهک پلاژیک است، تشکیل داده اند که رسوبات حاصل از هوازدگی این بخش در تشکیل آبخوان و تغذیه آن نقش اساسی ایفا می نمایند.

بررسی های اکتشافی نشان می دهد که آبخوان محدوده مطالعاتی جوین، حوضه فروافتاده ای با روند تقریبی شرقی - غربی است که ضخامت آبخوان به دلیل نیروهای تکتونیکی شدید حاکم بر منطقه و به تبع گستره بودن داشت در مناطق مختلف آن متفاوت و از حدود ۳۰ متر تا حدود ۴۰۰ متر متغیر می باشد. آبخوان در جنوب به صورت آزاد است و در شمال محدوده به دلیل عملکرد گسل شرقی - غربی جوین به صورت محصور در می آید (خدایی و همکاران، ۱۳۸۴). رسوبات تشکیل دهنده آبخوان محدوده مطالعاتی حاصل فرسایش ارتفاعات مجاور و عمدتاً آبرفتی می باشند که از ارتفاعات جنوبی منشأ می گیرند و عمدتاً درشت دانه بوده و از پتانسیل خوبی برای تشکیل آبخوان سطح زمین از جنوب به شمال کاهش می یابد و از ۷۰ متر به ۱۵۰ متر در مرکز داشت و حدود ۱۵ متر در شمال کاهش می یابد.

در ۴۱٪ نمونه ها بالاتر از حد مجاز استاندارد است (WHO, 2004). حد مجاز WHO برای کروم ۵۰ ppb است. ارسنیک از کمتر از حد تشخیص دستگاه تا ۱۰/۵ ppb با میانگین ۴/۳ ppb مس ۰/۳-۳/۱ ppb با میانگین ۱/۲ ppb، مولیبدن از ۰/۵-۳/۸ ppb با میانگین ۲/۶ ppb، اورانیوم از کمتر از حد تشخیص تا ۰/۶ ppb با میانگین ۰/۶ ppb، وانادیوم از ۰/۸-۵/۶ ppb با میانگین ۱۶/۱ ppb، روی از کمتر از حد تشخیص دستگاه تا ۱۲/۷ ppb با میانگین ۱/۲ ppb و تنگستن از کمتر از حد تشخیص دستگاه تا ۰/۱۴ ppb با میانگین ۰/۰۵ ppb است.

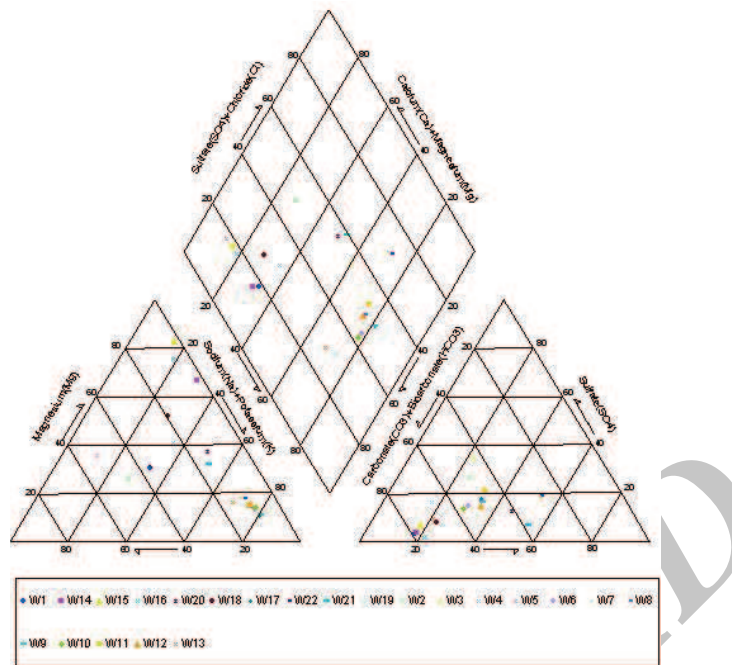
هیدروشیمی

خصوصیات شیمیایی آب های زیرزمینی در محدوده مطالعاتی براساس میزان آنیون ها و کاتیون های اصلی با دیاگرام های پاپر، شولر و ویلکوکس بررسی شده اند (اشکال ۲، ۳ و ۴). با پلات نمونه ها بر روی دیاگرام پاپر مشخص شد که اغلب آن ها در نمودار آنیون ها نزدیک به راس بی کربنات و بر روی نمودار

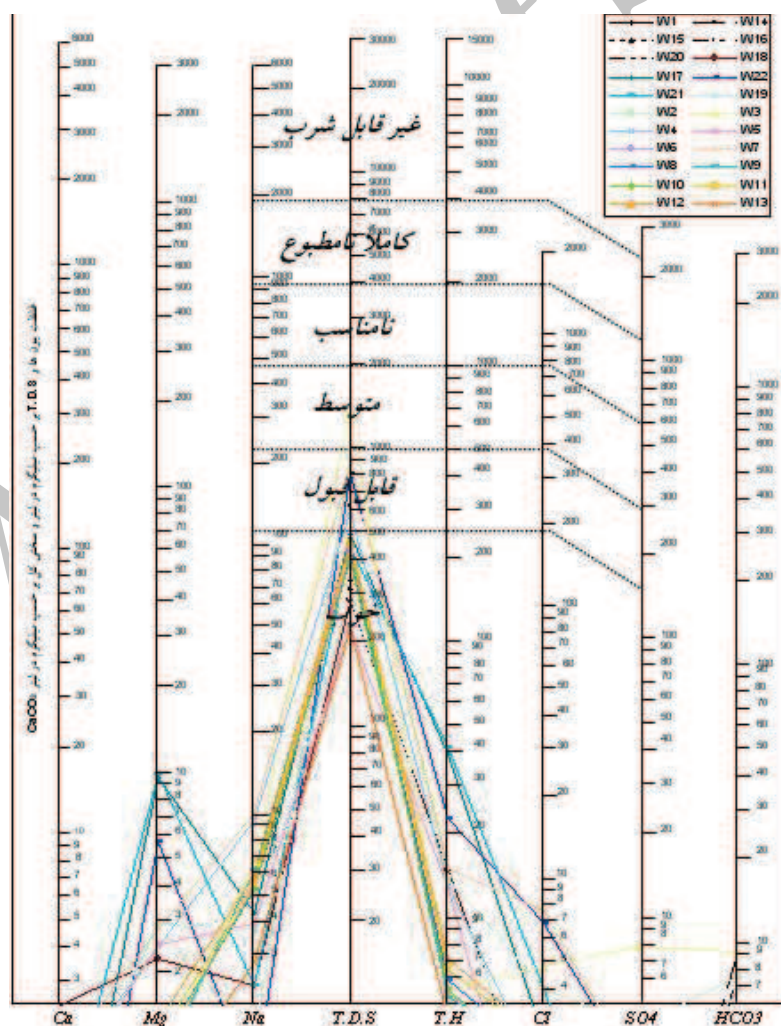
داده شده است. pH از ۷/۲۰ تا ۸/۷۷ با میانگین ۸/۱۴ و انحراف معیار ۰/۳۹ تغییر می کند. بنابراین pH آب زیرزمینی به طور ضعیفی قلیایی است. مقادیر هدایت الکتریکی (EC) از ۳۵۴-۲۱۸۰ $\mu\text{s}/\text{cm}$ تغییر می کند. مقادیر کم EC در جنوب محدوده منطبق بر مناطق تغذیه آبخوان است و مقادیر زیاد EC در شمال و غرب محدوده است و به عبارت دیگر در جهت جریان افزایش می یابد. TDS از ۱۳۷۳-۲۲۳ mg/l تغییر می کند. Freeze and Cherry (1979) آب زیرزمینی با مقادیر TDS کمتر از ۱۰۰۰ mg/l را به عنوان آب شیرین و آب های دارای TDS بالاتر از ۱۰۰۰ mg/l را جزء آب های شور طبقه بندی کرده اند. بنابراین آب زیرزمینی محدوده مطالعاتی عمده در زمرة آب های شیرین می باشد. کاتیون های عمده در محدوده مطالعاتی Na^+ , Ca^{+2} , Mg^{+2} , K^+ و SO_4^{-2} است که با Cl^- در Cd , Co , Fe , Mn , Ni , Pb , Zn در غالب نمونه ها کمتر از حد تشخیص دستگاه هستند. کروم از ۱۲۰-۱۲۲/۹ ppb با میانگین ۴۴/۵ ppb تغییر می کند. این عنصر

جدول ۱. خلاصه آماری پارامترهای اندازه گیری شده در ۲۲ نمونه آب زیرزمینی (ppb)

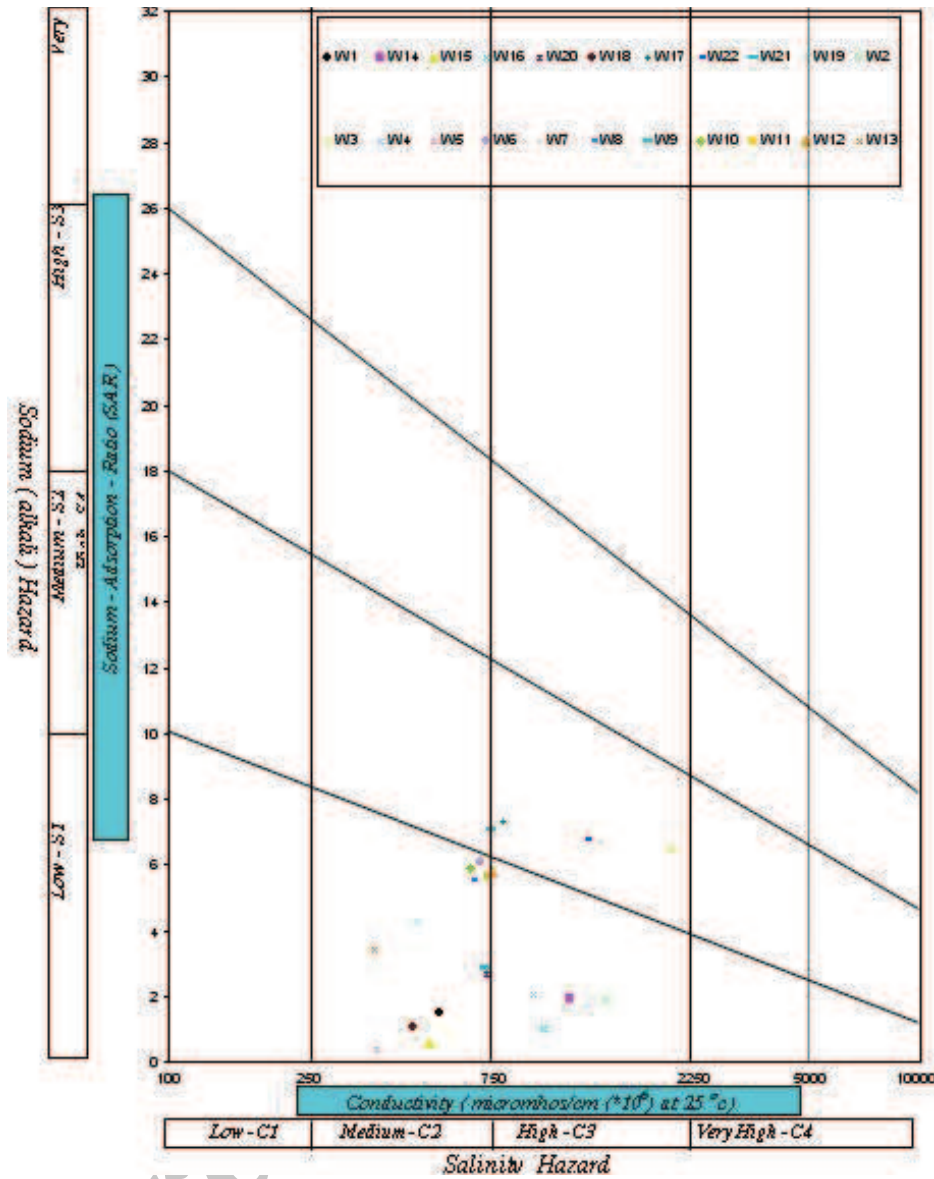
	Minimum	Maximum	Mean	Std. Deviation
As	0.00	10.50	4.29	3.01
Al	1.00	14.00	4.05	3.39
B	30.00	1475.00	218.55	289.68
Ba	4.46	63.75	23.90	17.61
Ca	2607	144691	29169.36	32316.88
Cr	12.00	122.90	44.53	29.51
Cu	0.30	3.10	1.25	0.70
K	222	2074	812.91	559.14
Li	1.00	22.20	3.74	4.32
Mg	8180	114055	34512.59	30828.34
Mo	0.50	5.50	2.61	1.48
Na	11709	332671	111321.09	73192.40
S	6.00	189	36.50	37.31
Se	0.80	13.20	2.86	2.57
Si	1917	17662	10551.73	3419.59
U	0.00	6.01	0.60	1.40
V	0.90	54.60	16.09	15.70
W	0.00	0.14	0.06	0.04
Zn	0.00	12.70	1.20	2.76
Cl	0.50	7.40	2.58	1.78
SO ₄	0.20	7.80	1.42	1.71
HCO ₃	2.70	9.40	4.59	2.16
EC	354	2180	833.55	437.84
TDS	223.02	1373.40	525.13	275.84
PH	7.20	8.60	8.14	0.39
DO	6.74	11.70	8.58	1.38



شکل ۲. نمودار پایه نمونه های آب زیرزمینی محدوده مطالعاتی.



شکل ۳. نمودار شولر نمونه های آب زیرزمینی محدوده مطالعاتی.



شکل ۴. نمودار دیاگرام ویلکوکس نمونه های آب زیرزمینی محدوده مطالعاتی.

مطالعه آماری

در این مطالعه تحلیل مولفه اصلی بر مبنای مقادیر ویژه ماتریکس همبستگی صورت گرفته است. بررسی ماتریکس همبستگی می تواند ارتباط بین متغیرهایی را که می توانند با هم تغییر کنند را نشان دهد و شرکت پارامترهای شیمیایی منفرد را در رویدادهای مختلف تعیین کند (Helena et al., 2000). جدول ۲ ماتریکس همبستگی ۲۶ متغیر را نشان می دهد ولی تنها آنهایی که مقدار بالاتر از ۰/۵ دارند، مورد توجه قرار داده شدند.

بررسی ماتریکس همبستگی نشان می دهد که عناصر As، Cr، V، Mo، Cu، Mo، V، AS، As، Mo، Cr، Mo; $r=0.522$ ، $r=0.502$ ، $r=0.857$ ، $r=0.736$ ، $r=0.840$ ، $r=0.831$ ، $r=0.490$ با هم مرتبطند (هاتفی و همکاران، ۱۳۹۰) و به طور کلی آب زیرزمینی محدوده مطالعاتی در گروه آب های نسبتاً مناسب برای کشاورزی قرار می گیرد ولی باید تمهدات لازم جهت بهره برداری در نظر گرفته شود.

کاتیون ها نزدیک به راس سدیم و منیزیم قرار گرفته اند و دارای تیپ Na^+ , $\text{Mg}-\text{HCO}_3^-$ می باشند. تعداد معدودی از نمونه ها در مثلث کاتیون ها در مرکز واقع شده اند که میان آمیختگی آب ها یا تیپ های مختلف است.

برطبق دیاگرام شولر تنها در مناطق شمالی و غربی دشت که بر منطقه تحلیله منطبق می باشند، کیفیت آب از نظر شرب نامناسب است و در دیگر نقاط دشت آب کیفیت قابل قبولی از نظر شرب دارد.

همچنین عدمه نمونه ها دارای EC متوسط و SAR پایین بوده که می توانند برای آبیاری در انواع مختلف خاک استفاده شوند. سایر نمونه ها در محدوده های شوری متوسط تا بالا و قلیاییت متوسط قرار می گیرند (هاتفی و همکاران، ۱۳۹۰) و به طور کلی آب زیرزمینی محدوده مطالعاتی در گروه آب های نسبتاً مناسب برای کشاورزی قرار می گیرد ولی باید تمهدات لازم جهت بهره برداری در نظر گرفته شود.

جدول ۲. ضریب همبستگی پرسون برای پارامترهای اندازه‌گیری شده در ۲۲ نمونه آب زیرزمینی محدوده مطالعاتی.

	Al	As	B	Ba	Ca	Cr	Cu	K	Li	Mg	Mo	Na	S	Se	Si	U	V	W	Zn	Cl	SO ₄	HCO ₃	EC	TDS	pH	DO			
Al	1.000																												
As	.102	1.000																											
B	-.213	.538	1.000																										
Ba	-.267	-.025	.206	1.000																									
Ca	-.334	.089	.521	.411	1.000																								
Cr	.173	.407	-.137	.033	-.396	1.000																							
Cu	.223	.657	.715	.075	.428	.225	1.000																						
K	.483	-.300	-.108	.355	.236	-.188	-.016	1.000																					
Li	-.052	.562	.974	.188	.502	-.107	.770	.010	1.000																				
Mg	.502	-.123	.163	.262	.153	-.225	.187	.796	.331	1.000																			
Mo	.209	.848	.528	-.060	.068	.522	.788	-.201	.573	-.058	1.000																		
Na	-.072	.616	.781	.188	.256	.368	.831	-.189	.757	-.043	.765	1.000																	
S	-.199	.497	.963	.277	.567	-.023	.768	-.037	.956	.197	.555	.842	1.000																
Se	-.153	.550	.946	.186	.454	-.097	.751	-.112	.937	.161	.567	.790	.936	1.000															
Si	-.176	.610	.578	-.020	.428	-.135	.674	-.337	.587	-.092	.571	.497	.547	.664	1.000														
U	-.321	-.010	.452	.122	.372	-.267	.211	.118	.445	.199	.073	.209	.432	.507	.423	1.000													
V	-.032	.857	.433	-.046	-.026	.502	.434	-.404	.394	-.335	.736	.539	.378	.424	.331	-.015	1.000												
W	.130	.253	-.094	-.323	-.246	.403	.075	-.148	-.076	-.108	.178	.101	-.082	-.157	-.027	-.078	.347	1.000											
Zn	.125	.122	-.009	-.142	-.163	.104	.134	-.253	-.039	-.268	.104	.105	-.043	.089	.171	-.031	.077	-.219	1.000										
Cl	-.001	.138	.380	.322	.280	.345	.616	.099	.381	.080	.422	.756	.565	.412	.166	-.013	.076	.002	-.060	1.000									
SO ₄	-.199	.471	.921	.323	.690	-.027	.777	.031	.899	.139	.544	.819	.959	.854	.523	.438	.378	-.045	-.043	.575	1.000								
HCO ₃	.291	.261	.521	.330	.486	-.207	.537	.612	.653	.829	.272	.267	.520	.511	.353	.439	-.010	-.097	-.136	.134	.508	1.000							
EC	.070	.401	.786	.402	.598	.060	.843	.311	.840	.462	.556	.799	.879	.773	.458	.355	.207	-.051	-.091	.727	.886	.714	1.000						
TDS	.070	.401	.786	.402	.598	.060	.843	.311	.840	.462	.556	.799	.879	.773	.458	.355	.207	-.051	-.091	.727	.886	.714	1.000	1.000					
pH	.184	.094	-.330	-.297	-.774	.488	-.262	-.288	-.359	-.415	.154	.062	-.312	-.269	-.277	-.345	-.207	.304	.166	.016	-.368	-.604	-.392	-.392	1.000				
DO	-.108	.228	-.212	-.358	-.387	.588	-.063	-.482	-.249	-.517	.168	.086	-.184	-.232	-.060	-.224	.300	.532	.440	-.053	-.177	-.446	-.283	-.283	.482	1.000			

تحلیل عاملی

در این مطالعه به منظور دستیابی به اطلاعات دقیق تر از روش آماری PCA نیز برای تعیین منشأ عناصر مورد مطالعه استفاده شده است و جهت جلوگیری از بدست آمدن بازه های عددی متفاوت برای متغیرهای اصلی، تمامی متغیرها با واحد واریانس سنجیده شده اند. جدول ۳ نتایج PCA چرخشی متغیرها را همراه با loadings و مقادیر ویژه هر PCA نشان می دهد.

اولین فاکتور (PC1) با ۹۹.۵٪ واریانس کل، همبستگی بالای با متغیرهای فیزیکو شیمیایی اصلی شامل Cl, SO₄, TDS, EC و B, Ca, Cu, Li, Mo, Na, Se, Si عناصر فرعی محلول شامل شوری هستند که غلطنت نمک است. اغلب این متغیرها عوامل شوری هستند که غلطنت نمک کل محلول و تغییرات شیمیایی را نشان می دهند. نقشه میزان بارگذاری هر نمونه در شکل ۷ ارائه شده است. در شکل ۷، محدوده متاثر از عامل اول را نشان می دهد که میزان بارگذاری بین ۳/۹۷ و ۲/۴۳ می کند. بیشترین بارگذاری این عامل مربوط به بخش خروجی دشت (شمال و غرب محدوده) در جهت جریان و واحدهای زمین شناسی مارن و زیپسی است که در حدود ۳۰٪ از محدوده مقادیر مثبت نشان دهد که نشان دهنده تکامل هیدرو شیمیایی و انحلال عوامل موثر در شوری آب است.

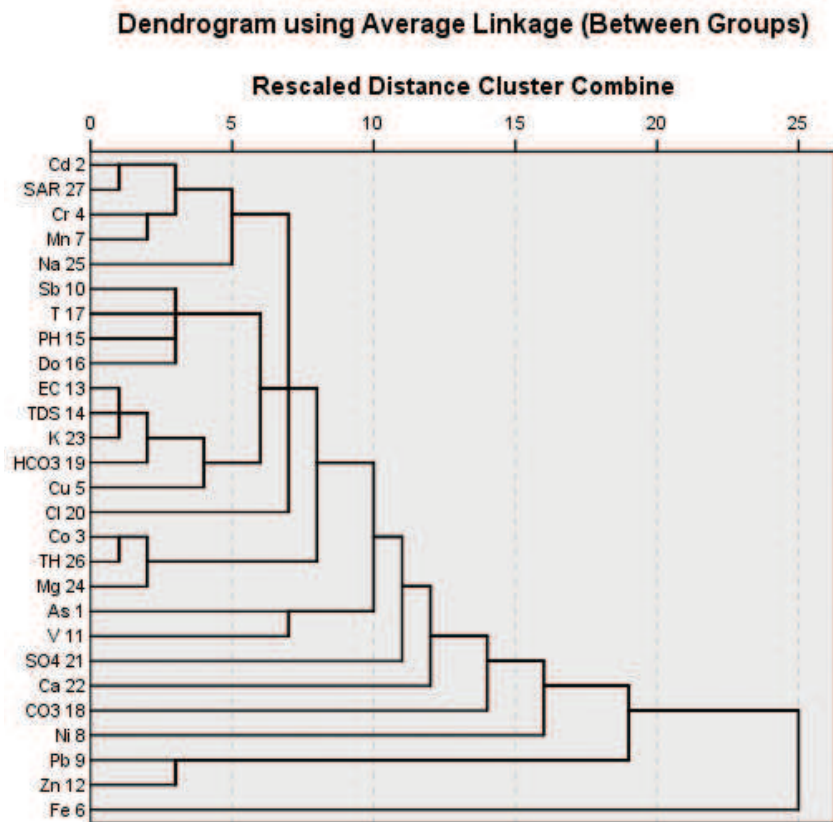
PC2، ۸۰٪ واریانس کل را شامل می شود و توسط Cr قابل توضیح است که احتمالاً نشان دهنده تاثیر مجموعه افیولیتی و معدن کاری کرومیت در محدوده است که سبب رهاسازی کروم به محیط شده است. همچنین مقادیر pH و DO از سایر متغیرها

می دهند که عناصر مذکور در آب زیرزمینی محدوده مطالعاتی، خصوصیات هیدرو شیمیایی مشابه دارند. تفسیر دیگری از این مشاهدات این است که عناصر Cr, Mo, As و V غاظت های بیشتری در آب های اکسیدی دارند و عموماً بصورت اکسی آنیون های محلول در آب های اکسید حضور دارند (Farnham et al., 2003; Ball and Izicki, 2008; Colleir, 1984; Chen et al., 2007) ولی در آب های احیا عناصر Ba, Mn, Co و غاظت بازتری را نشان می دهند (Chen et al., 2007).

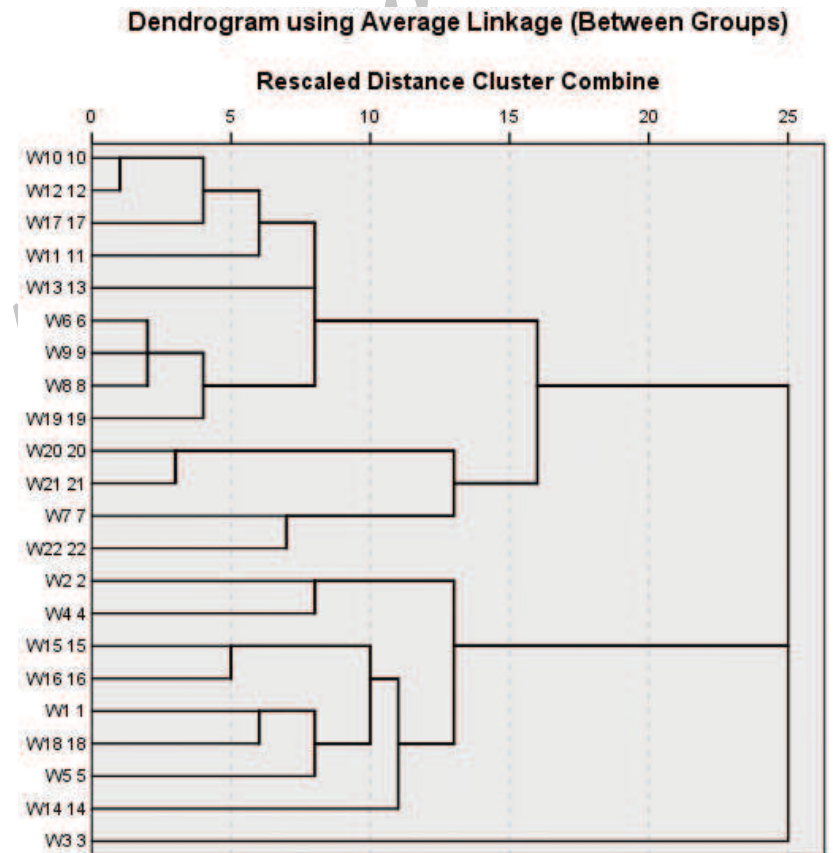
تحلیل خوشهای

نتیجه تحلیل خوشهای به صورت دو دندروگرام ارائه شده است (شکل ۵ و ۶). دندروگرام مربوط به پارامترهای فیزیکی و شیمیایی شامل سه خوشه با نام های A, B و C هستند. تطابق بین EC, TDS, Cu, Na, B, Li, S, SO₄, Cl, Si, Ca, As, V, Mo, U, Ba و Se می تواند نشان دهنده شباهت در منشأ و فعالیت شیمیایی آنها باشد. تطابق دیگر بین HCO₃⁻, K, Al و Mg می تواند تعیین کننده رفتار مشابه این پارامترها باشد. تطابق بین DO, pH, W, Zn و Cr نشان دهنده رفتار مشابه این عناصر فرعی و طبیعت آنکاری و اکسیدان آب زیرزمینی محدوده است.

نتایج تحلیل خوشهای Q-mode نمونه ها به شکل دندروگرام ارائه شده است (شکل ۶) که میزان شباهت بین نمونه ها را نشان می دهد. بر اساس شکل ۶، ۲۲ نمونه برداشت شده از محدوده مطالعاتی در ۳ گروه توسط تحلیل خوشهای چند متغیره تقسیم شود.



شکل ۵. نمودار دندروگرام ۲۶ متغیره از تحلیل خوشای در R-mode



شکل ۶. نمودار دندروگرام ۲۶ متغیره تحلیل خوشای Q-mode نمونه‌های برداشت شده از محدوده مطالعاتی.

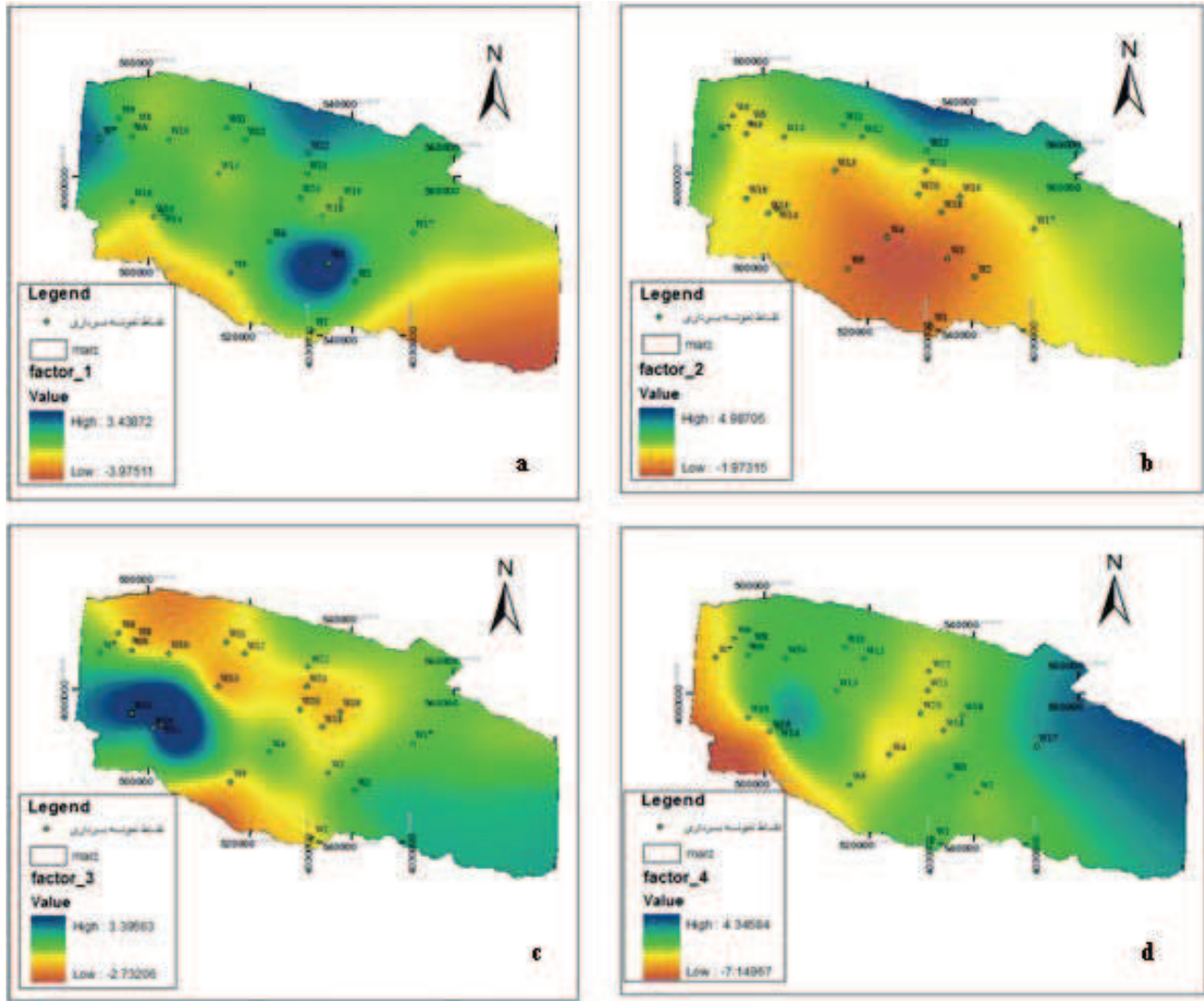
جدول ۳. بارگذاری عامل های ۲۶ متغیر براساس واریانس چرخشی در محدوده جوین. اشکال ایتالیک مقادیر مطلق بیشتر از ۰/۵ است.

	PC 1	PC 2	PC 3	PC4
Al	-.138	.303	.821	.161
As	.400	.120	-.028	.880
B	.848	-.315	-.055	.283
Ba	.257	.030	.057	-.093
Ca	.520	-.506	-.021	-.039
Cr	.105	.824	-.063	.299
Cu	.825	.055	.212	.377
K	.016	-.054	.815	-.315
Li	.846	-.305	.131	.308
Mg	.180	-.216	.885	-.160
Mo	.567	.290	.066	.679
Na	.903	.275	-.108	.255
S	.934	-.179	-.028	.179
Se	.846	-.293	-.028	.290
Si	.525	-.396	-.152	.456
U	.447	-.575	-.034	-.146
V	.271	.222	-.236	.826
W	.016	.322	-.019	.169
Zn	.044	.110	-.134	.027
Cl	.748	.485	.023	-.217
SO ₄	.925	-.171	-.037	.157
HCO ₃	.481	-.398	.697	.142
EC	.922	-.025	.313	.065
TDS	.922	-.025	.313	.065
pH	-.237	.672	-.208	.062
DO	-.067	.487	-.410	.093
eigenvalue	9.358	3.330	3.205	3.037
%variance	35.991	12.808	12.328	11.681
%cumulative	35.991	48.799	61.126	72.808

زیرزمینی محدوده مطالعاتی به کروم داشته باشد. از طرف دیگر آبخوان جوین در جنوب یک لایه و از نوع آزاد است در حالی که در شمال محصور و دو لایه است. آبخوان محصور مستقیماً از افیولیت‌ها تغذیه می‌گردد و مقدار کروم بیشتر از حد استاندارد را نشان می‌دهد.

Al, K⁺, Mg⁺², PC3 ۱۲/۳۲۸٪ واریانس کل را شامل می‌شود و HCO₃⁻ مقادیر زیاد مثبت، pH منفی و TDS مقدار مثبت متوسطی دارند. اگر pH نیز در این عامل مثبت بود، احتمال داشت که تجزیه مواد آلی سبب تولید گاز دی اکسید کربن شده و نفوذ آن به داخل آب، HCO₃⁻ را تشکیل داده باشد (Ganyaglo et al., 2011) ولی در محدوده مطالعاتی به نظر می‌رسد که فرسایش نقش اصلی را در این عامل دارد. بالا بودن Al میین جانشینی آن در ساختمان پیروکسن‌ها به جای Si و رها شدن در نتیجه فرسایش است. مقدار بالای K⁺ ناشی از فرسایش ماسه سنگ

بیشتر است که احتمالاً مریبوط به اکسیدی بودن محیط است. در شکل b7، مقادیر از ۱/۹۷-۴/۲ تا ۴/۲-۱/۹۷ تغییر می‌کنند. ۹۰٪ وسعت محدوده دارای مقادیر بارگذاری مثبت است که خطر متوسط تا بالایی را بر روی مجموعه داده‌های هیدروشیمیایی نشان می‌دهند. مقادیر زیاد بارگذاری عامل دوم در شمال و غرب محدوده مشاهده می‌شود (شکل ۳). مجموعه افیولیتی شمال و شرق کشور که محتوى تعداد زیادی کانسارهای کرومیت لایه‌ای، عدسی و مدادی شکل با ابعاد متفاوت است و در حال حاضر از بسیاری از مناطق آن، کرومیت استخراج می‌شود و معادن فعال و متروکه بسیاری در این زون وجود دارد (از جمله این محدوده‌ها، مناطق معدنی کرومیت گفت و فرمود سبزوار در غربی ترین بخش رشته افیولیتی سبزوار و در شمال غربی شهرستان سبزوار است)، در جنوب آبخوان جوین واقع شده است که تغذیه غالب دشت را عهده دار است و می‌تواند مهم‌ترین تاثیر را در آلوگنی آب



شکل ۷. نقشه میزان بارگذاری عامل‌های استخراج شده.

محلول‌تر است. همانطورکه در شکل ۷، مشاهده می‌شود مقادیر بارگذاری در بازه $7/2-4/3$ -تغییر می‌کنند. که حدود ۹۰٪ محدوده مقادیر بیش از ۷-را نشان می‌دهند که میان درجه اهمیت شرایط اکسایش - کاهش در محدوده است. از طرف دیگر این عامل نیز در تمامی محدوده دارای مقادیر متوسطی می‌باشد.

نتیجه‌گیری

ارزیابی کیفیت آب زیرزمینی در محدوده مطالعاتی جوین نشان داد که آب زیرزمینی آلکالینیتی با میانگین $8/14$ pH و اکسیدان با میانگین $8/57$ DO است. ارزیابی کیفیت آب زیرزمینی در محدوده مطالعاتی جوین نشان داده است که در جهت جریان افزایش می‌یابد و از $354-2180 \mu\text{s}/\text{cm}$ تغییر می‌کند. در TDS در اغلب نمونه‌ها کمتر از 1000 mg/l است که میان آب شیرین در محدوده است. کاتیون‌های عمده به ترتیب Na^+ و Mg^{+2} و آنیون عمده HCO_3^- است که تیپ $\text{Na}, \text{Mg}^-, \text{HCO}_3^-$ را برای آب زیرزمینی محدوده تعیین می‌کند. به لحاظ شرب، کیفیت آب در مناطق شمالی و غربی نامناسب است ولی در دیگر بخش‌ها از

و کنگلومراها و HCO_3^- ناشی از فرسایش سنگ‌های آهکی محدوده مطالعاتی است. Mg^{+2} نیز عنصری است که به فراوانی در کانی‌های پیروکسین و اولیوین موجود در سنگ‌های اولترامافیک شرکت دارد و فرسایش مجموعه افیولیتی می‌تواند عامل غالب‌تر بالای آن باشد. در شکل ۷، میزان بارگذاری بین ۲۰۵ و ۳۴٪ تغییر می‌کند و در حدود ۳۰٪ محدود مقادیر مثبت دارد که شامل بخش‌های جنوب شرق و جنوب غربی محدوده مطالعاتی است و منطبق بر مجموعه افیولیتی می‌باشد. تجزیه شیمیابی کانی‌های موجود در این لیتولوژی‌ها و رهاسازی یون‌ها در آب زیرزمینی دلیل رخداد این عامل است ولی مقادیر متوسطی از این عامل در سراسر دشت دیده می‌شود.

As, Mo, PC4 واریانس کل را تشکیل می‌دهد که $11/681$ ٪ V شرکت کننده‌های اصلی هستند که در محیط‌های آلکالی اکسید محلول‌تر می‌باشند (Hem, 1989). همان‌طور که در مبحث اکسیریکس همیستگی ذکر شد، این عناصر به طور تیپیک به صورت آنیون‌های محلول در آب‌های اکسیدی دیده می‌شوند در حالی که Ba با PC_4 منفی عموماً در آب‌های تهی از اکسیرین

groundwater in a coastal area in Shenzhen, China. Environmental Pollution, 147, 771-780.

- Collier, R.W., 1984. Particulate and dissolved vanadium in the north Pacific ocean. Nature, 309, 441- 444.

- Drever, J., 1982. The Geochemistry of Natural Waters. Prentice-Hall, Englewood Cliffs, NJ.

- Farnham, I.M., Johannesson, K.H., Singh, A.K., Hodge, V.F. and Stetzenbach, K.J., 2003. Factor analytical approaches for evaluating groundwater trace element chemistry data. Analytica Chimica Acta, 490, 123e138.

- Freeze, R.A. and Cherry, J.A., 1979, "Groundwater", Pentice-Hall.

- Ganyaglo, S.Y., Osae, S., Dampare, B.D., Fianko, J.R., Bhuiyan, M.A.H., Gibrilla, A., Bam, E., Ahialey, E. and Osei, J., 2011. Preliminary groundwater quality assessment in the central region of Ghana. Environmental Earth Science, DOI 10.1007/s12665-011-1266-7

- Helena, B., Pardo, B., Vega, M., Barrado, E., Fernandez, J.M., and Fernandez, L., 2000. Temporal evolution of groundwater composition in an alluvial aquifer (Pisuerga River, Spain) by principal component analysis. Water Research, 34, 3, 807-816.

- Hem, J.D., 1970. Study and interpretation of the chemical characteristics of natural waters. Geological Survey Water-Supply, paper 1473.

- Hem, J.D., 1989. U.S. Geological Survey Water-Supply, 263.

- Hern-Romero, A.H., Tovilla-Hern, C., Malo, E.A., 2004. Water quality and presence of pesticides in a tropical coastal wetland in southern Mexico[J]. Marine Pollutant Bulletin, 48, 11/12, 1130–1141.

- Izicki, J.A., Ball, J.W., Thomas, D., Bullen, T.D., and Sutley, S.J., 2008. Chromium, chromium isotopes and selected trace elements, western Mojave Desert, USA. Applied Geochemistry, 23, 1325–1352.

- Jackson, J.E., 1991. A User's Guide to Principal Components. Wiley, New York.

- Karbassi, A.R., Nouri, J., and Ayaz, G.O., 2007. Flocculation of trace metals during mixing of Talar river water with Caspian Seawater. International Journal of Environmental Research, 1, 1, 66–73.

- Klovan, J.E., 1975. R-mode and Q-mode factor analysis. In: McCammon RB (ed) Concepts in geostatistics. Springer, Berlin Heidelberg New York, 168.

- Kowalkowski, T., Zbytniewski, R. and Szpejna,

کیفیت قابل قبولی برخوردار است. بررسی نمونه‌ها از نظر کیفیت کشاورزی نشان می‌دهد که اغلب نمونه‌ها دارای EC متوسط و SAR پایین می‌باشند و می‌توانند برای آبیاری انواع خاک استفاده شوند ولی باید تمهیدات لازم برای بهره‌برداری در آینده در نظر گرفته شود.

بر اساس نتایج تحلیل عاملی، ماتریکس همبستگی متغیرها حاکی از همبستگی مثبت می‌باشد As, Cr, V, W, Mo, Zn pH با DO است. غلطت بالای این عناصر معمولاً در آب‌های اکسید دیده می‌شود که می‌توانند نشان‌دهنده اکسید بودن آب زیرزمینی محدوده مطالعاتی باشد. تحلیل خوش‌های متغیرها، سه خوش‌های اصلی را در محدوده تعیین می‌کند. خوش‌های اول شوری، خوش‌های دوم تاثیر فرسایش و خوش‌های سوم تاثیر معدن و خصوصیات آلکالینیتی و اکسیدی بودن محیط را نشان می‌دهند. در تحلیل مولفه‌های اصلی چهار عامل اصلی ۷۲٪/۸۰٪، واریانس کل را تشکیل می‌دهد. PC1 با ۳۵٪/۹۹٪ واریانس کل عوامل شوری است و تغییرات آب را در طی تکامل هیدروشیمیابی و جهت جریان نشان می‌دهد. PC2 تاثیر تودهای کرومیت، معدنکاری و رهاسازی کروم به محیط را بیان می‌کند و متغیر مهم در آن Cr می‌باشد. PC3، ۱۲٪/۳۲٪ واریانس کل را شامل می‌شود که با Mg, K, HCO₃, Al و pH متفاوت است. این متغیرها می‌توانند بیانگر TDS متوسط مثبت مشخص می‌شوند. این متغیرها می‌توانند بیانگر کروم به پارامترهای کیفی آب و نیز تحلیل عاملی، کروم و متغیرهای اکسایش - کاهش حساس هستند و می‌توانند بیانگر اکسیدی بودن آب زیرزمینی محدوده مطالعاتی باشند. با توجه به پارامترهای کیفی آب و نیز تحلیل عاملی، کروم هر چند آب زیرزمینی در اغلب مناطق محدوده دارای کیفیت قابل قبولی است ولی باید تمهیدات لازم جهت جلوگیری از آلودگی آب در آینده و پاکسازی‌های مورد نیاز در مناطق آلوده شده صورت پذیرد.

منابع

- خدایی، ک.، شهسواری، ع.، اعتباری، ب. و هاتفی، ر.. ۱۳۸۴ پنهانه‌بندی آسیب‌پذیری ذاتی آبخوان دشت جوین در مقابل آلودگی با استفاده از روش‌های DRASTIC و GODS . کمیته تحقیقات شرکت سهامی آب منطقه ای خراسان.
- هاتفی، ر.، اسدیان، ف.، خدایی، ک. و شهسواری، ع.ا.. ۱۳۹۰ بررسی خصوصیات هیدروشیمیابی و کیفیت آب زیرزمینی محدوده جوین سبزوار. چهارمین کنفرانس مدیریت منابع آب ایران.

- Appelo, C.A.J. and Postma, D., 1993. Geochemistry, Groundwater and Pollution. Balkema, Rotterdam.

- Chen, K., Jiao, J.J., Huang, J., and Huang, R., 2007. Multivariate statistical evaluation of trace elements in

- J., 2006. Application of chemometrics in river water classification[J]. *Water Research.*, 40, 744–752.
- Kumar, R.A., and Riyazuddin, P., 2008. Application of chemometric techniques in the assessment of groundwater pollution in a sub-urban area of Chennai city, India. *Current Science.*, 94, 8, 25.
- Marszalek, H., and Wasik, M., 2000. Influence of arsenic-bearing gold deposits on water quality in Zloty Stok mining area (SW Poland). *Environmental Geology*, 39, 8, 888–892.
- Meglen, R.R., 1992. Examining large databases: a chemometric approach using Principal Component Analysis. *Marine Chemistry*, 39, 217-237.
- Singh, K.P., Malik, A., and Mohan, D., 2004. Multivariate statistical techniques for the evaluation of spatial and temporal variation in water quality of Gomti River (India) a case study. *Water Research.*, 38, 3980–3992.
- Website of World Health Organization, 2004, at www.who.int.
- Zhou, F., Huang, G.H., and Guo, H.C., 2007a. Spatiotemporal patterns and source apportionment of coastal water pollution in eastern Hong Kong. *Water Research*.
- Zhou, F., Liu, Y. and Guo, H.C., 2007b. Application of multivariate statistical methods to the water quality assessment of the watercourses in the northwestern New Territories, Hong Kong. *Environmental Monitoring Assessment*.